

Anexo IV

Qualidade do Ar

RESULTADOS DE SIMULAÇÕES EFECTUADAS

**CONCENTRAÇÕES NO AR AMBIENTE DEVIDAS ÀS EMISSÕES DA
ETES**

(Valores em $\mu\text{g}/\text{m}^3$)

ANEXO IV-2

Isoconcentrações de NO₂

Unidade de Cogeração (LOCAL 2)

Nas Figuras A-13 a A-24 apresentam-se os resultados das simulações realizadas para o local 2 da ETES tendo em conta a direcção de ventos de Norte, considerando dois cenários de velocidade do vento, seis classes de estabilidade atmosférica sem o efeito de downwash.

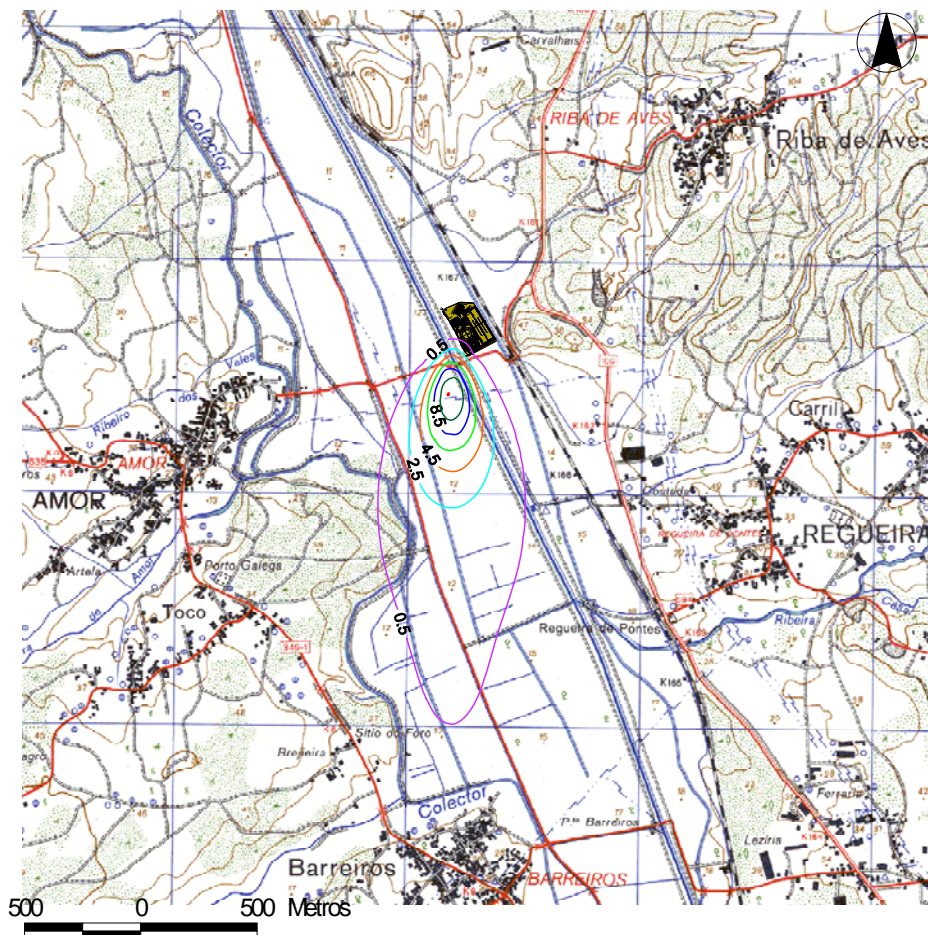


Figura A-13 – Isolinhas dos valores de concentração de NOx para o período de uma hora em µg/m³ (classe A, velocidade do vento 0,5 m/s, direcção Norte) LOCAL 2

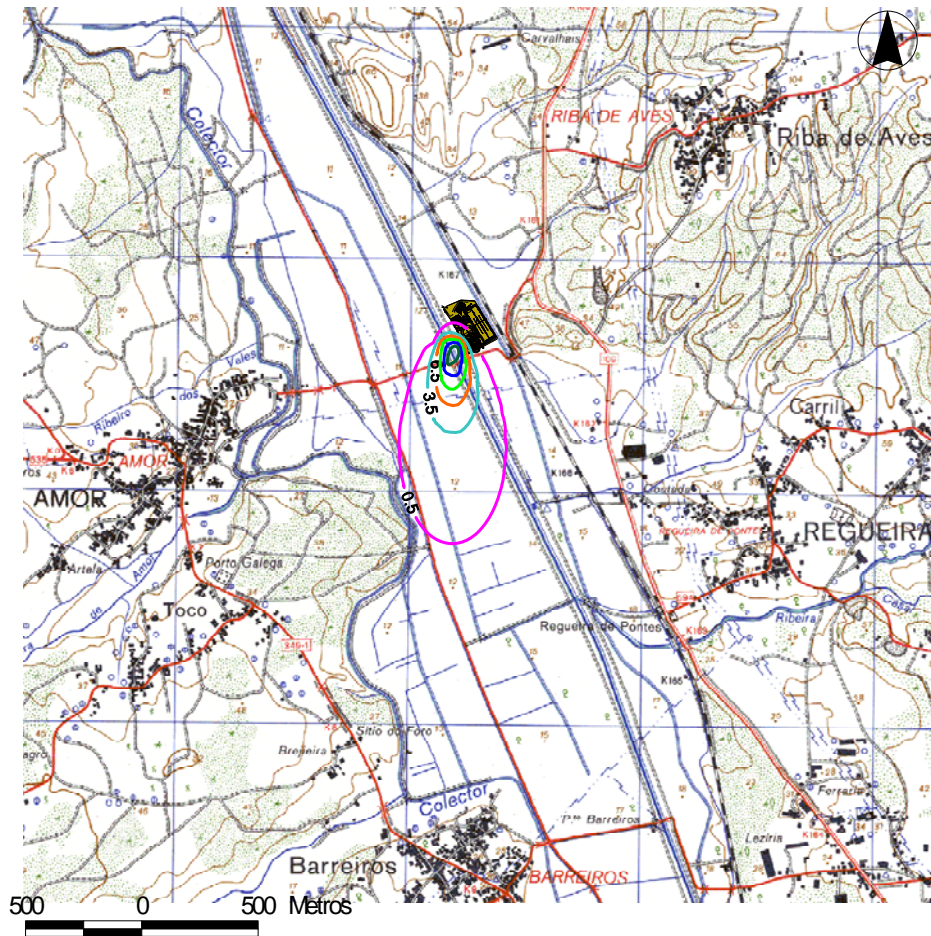


Figura A-14 – Isolinhas dos valores de concentração de NOx para o período de uma hora em $\mu\text{g}/\text{m}^3$ (classe A, velocidade do vento 3 m/s, direcção Norte) LOCAL 2

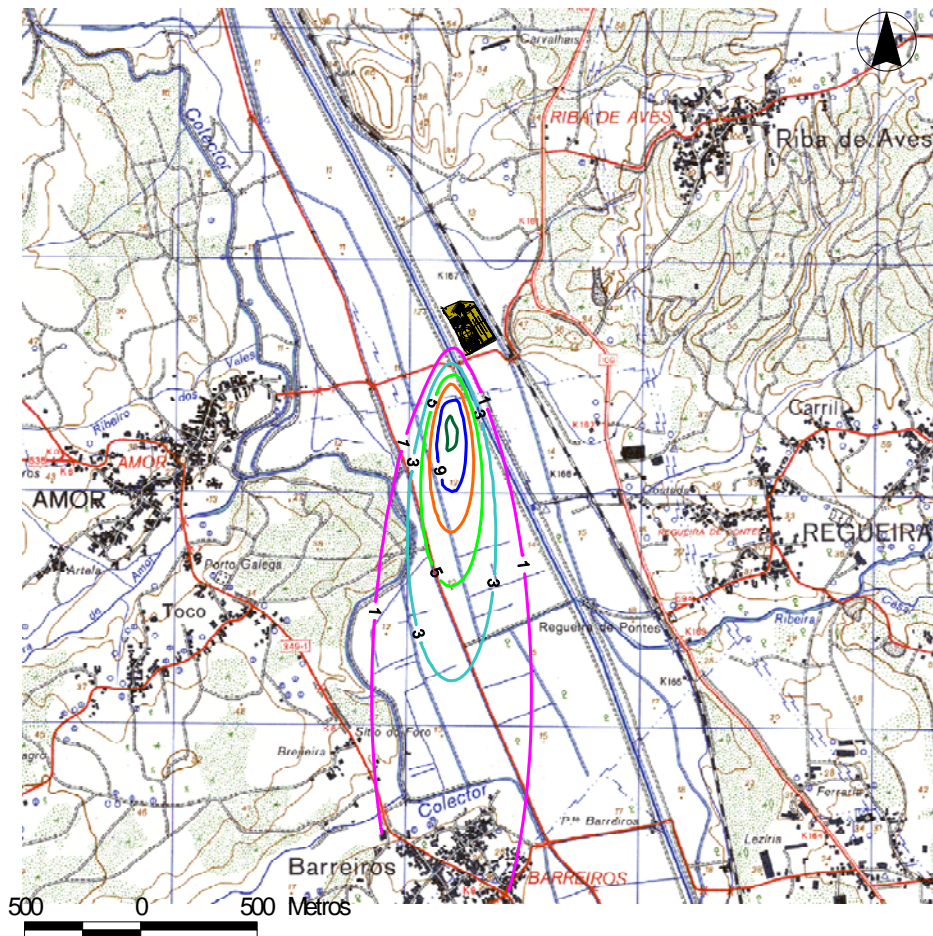


Figura A-15 – Isolinhas dos valores de concentração de NOx para o período de uma hora em $\mu\text{g}/\text{m}^3$ (classe B, velocidade do vento 0,5 m/s, direcção Norte) LOCAL 2

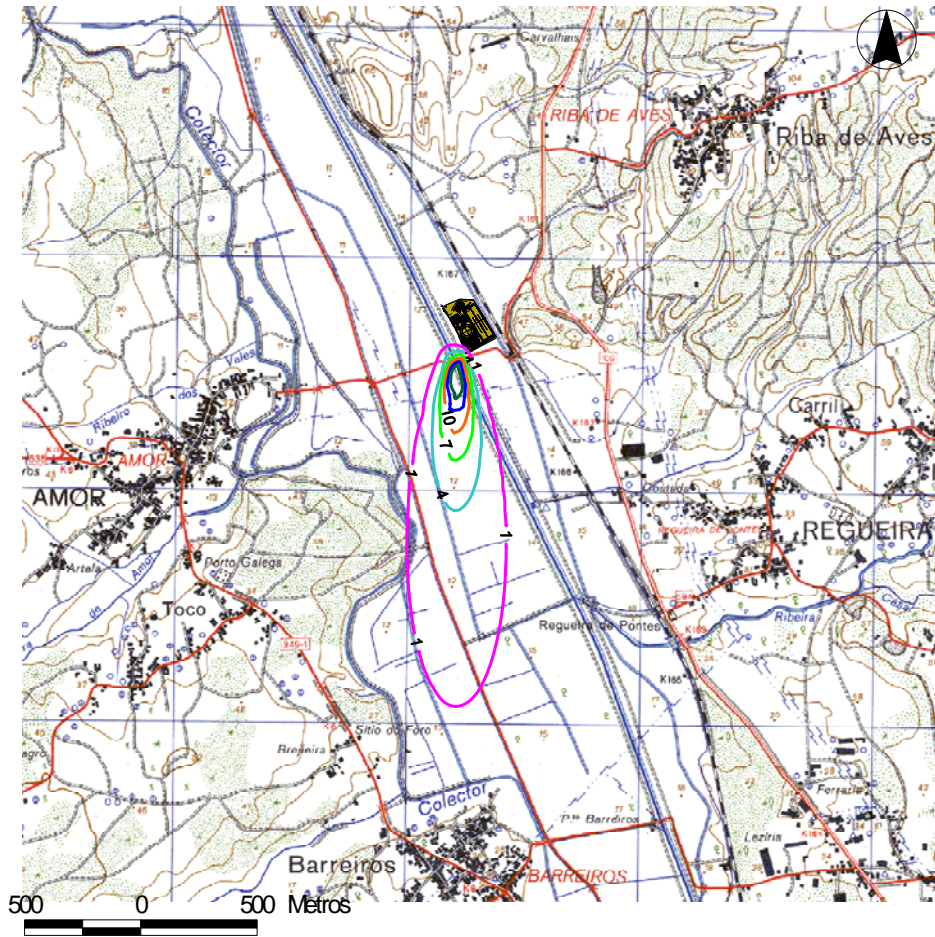


Figura A-16 – Isolinhas dos valores de concentração de NOx para o período de uma hora em $\mu\text{g}/\text{m}^3$ (classe B, velocidade do vento 3 m/s, direcção Norte) LOCAL 2

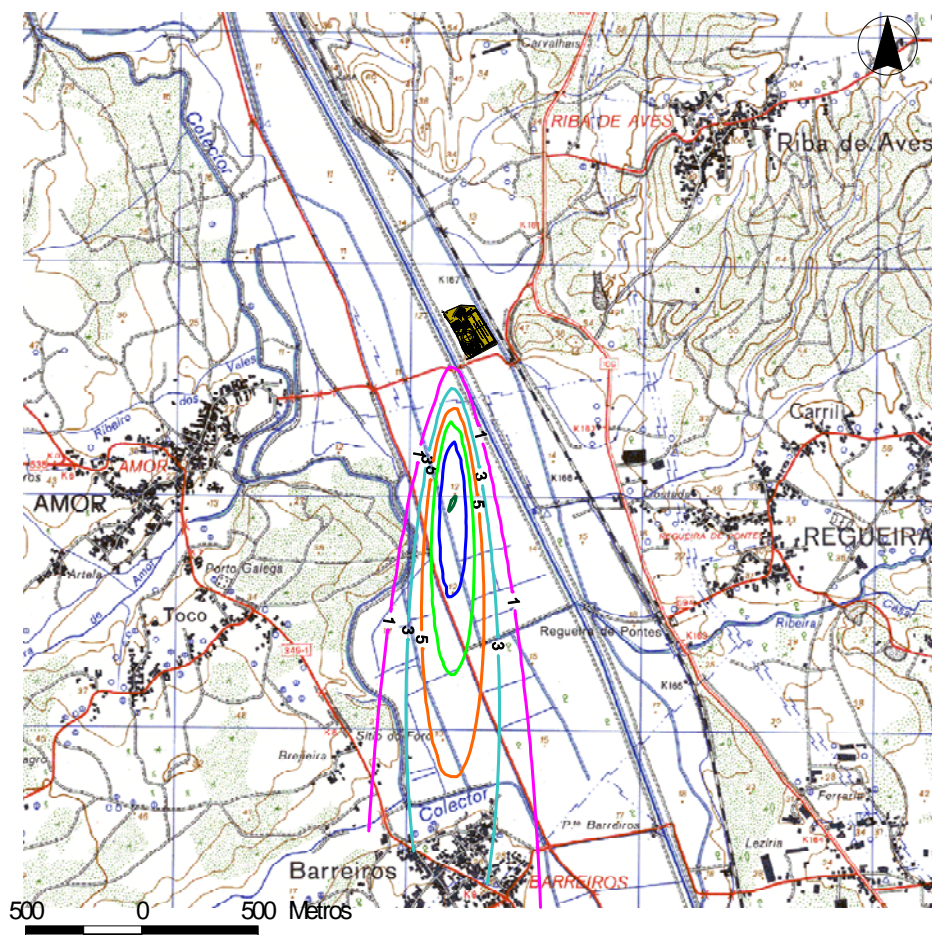


Figura A-17 – Isolinhas dos valores de concentração de NOx para o período de uma hora em $\mu\text{g}/\text{m}^3$ (classe C, velocidade do vento 0,5 m/s, direcção Norte) LOCAL 2

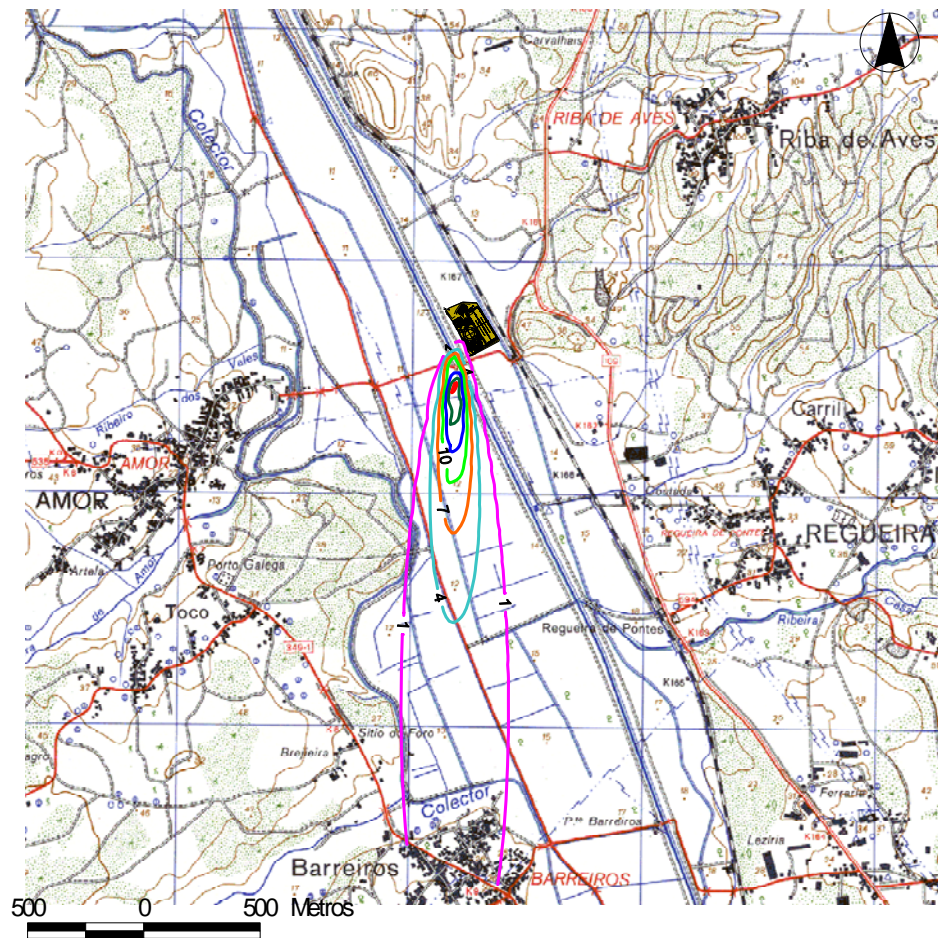


Figura A-18 – Isolinhas dos valores de concentração de NOx para o período de uma hora em $\mu\text{g}/\text{m}^3$ (classe C, velocidade do vento 3 m/s, direcção Norte) LOCAL 2

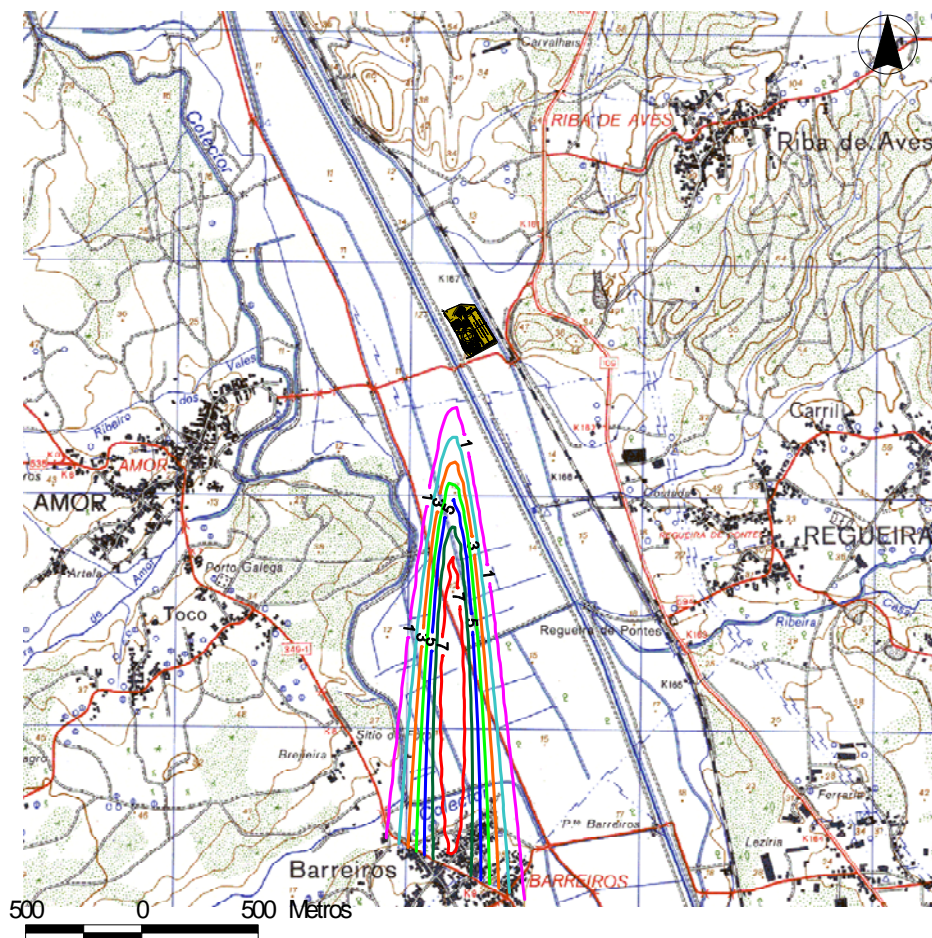


Figura A-19 – Isolinhas dos valores de concentração de NOx para o período de uma hora em $\mu\text{g}/\text{m}^3$ (classe D, velocidade do vento 0,5 m/s, direcção Norte) LOCAL 2

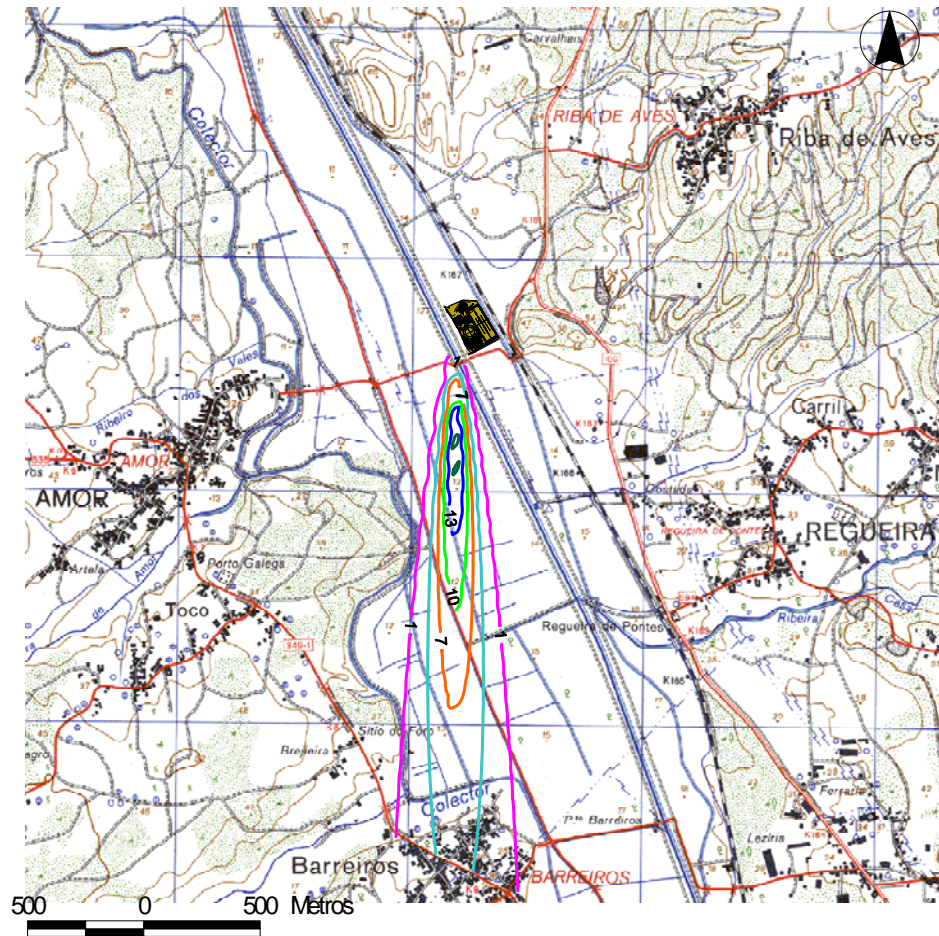


Figura A-20 – Isolinhas dos valores de concentração de NOx para o período de uma hora em $\mu\text{g}/\text{m}^3$ (classe D, velocidade do vento 3 m/s, direcção Norte) LOCAL 2

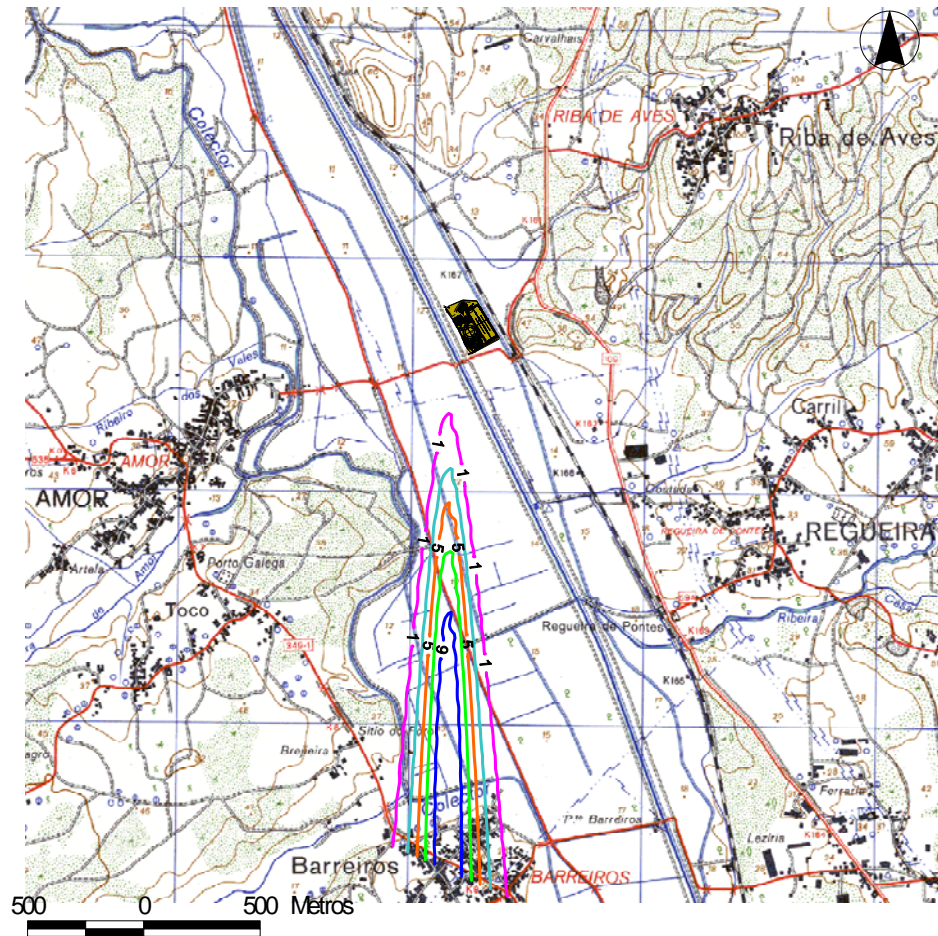


Figura A-21 – Isolinhas dos valores de concentração de NO_x para o período de uma hora em µg/m³ (classe E, velocidade do vento 0,5 m/s, direcção Norte) LOCAL 2

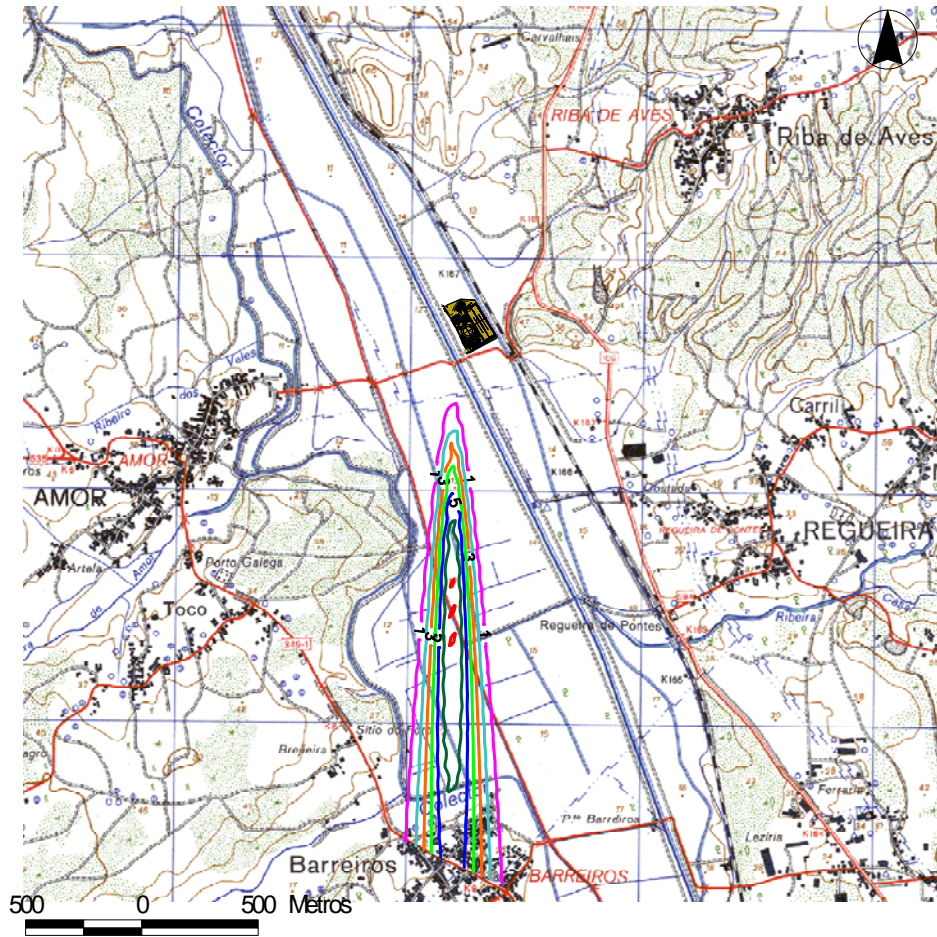


Figura A-22 – Isolinhas dos valores de concentração de NOx para o período de uma hora em $\mu\text{g}/\text{m}^3$ (classe E, velocidade do vento 3 m/s, direcção Norte) LOCAL 2

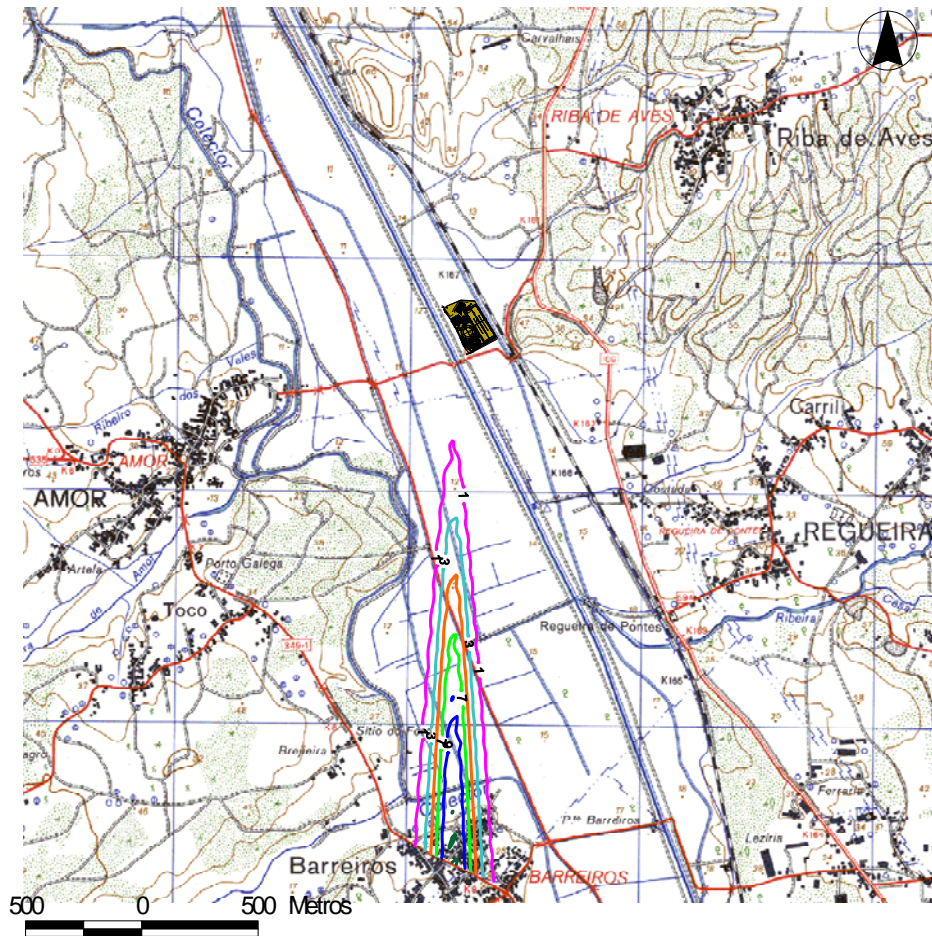


Figura A-23 – Isolinhas dos valores de concentração de NOx para o período de uma hora em $\mu\text{g}/\text{m}^3$ (classe F, velocidade do vento 0,5 m/s, direcção Norte) LOCAL 2

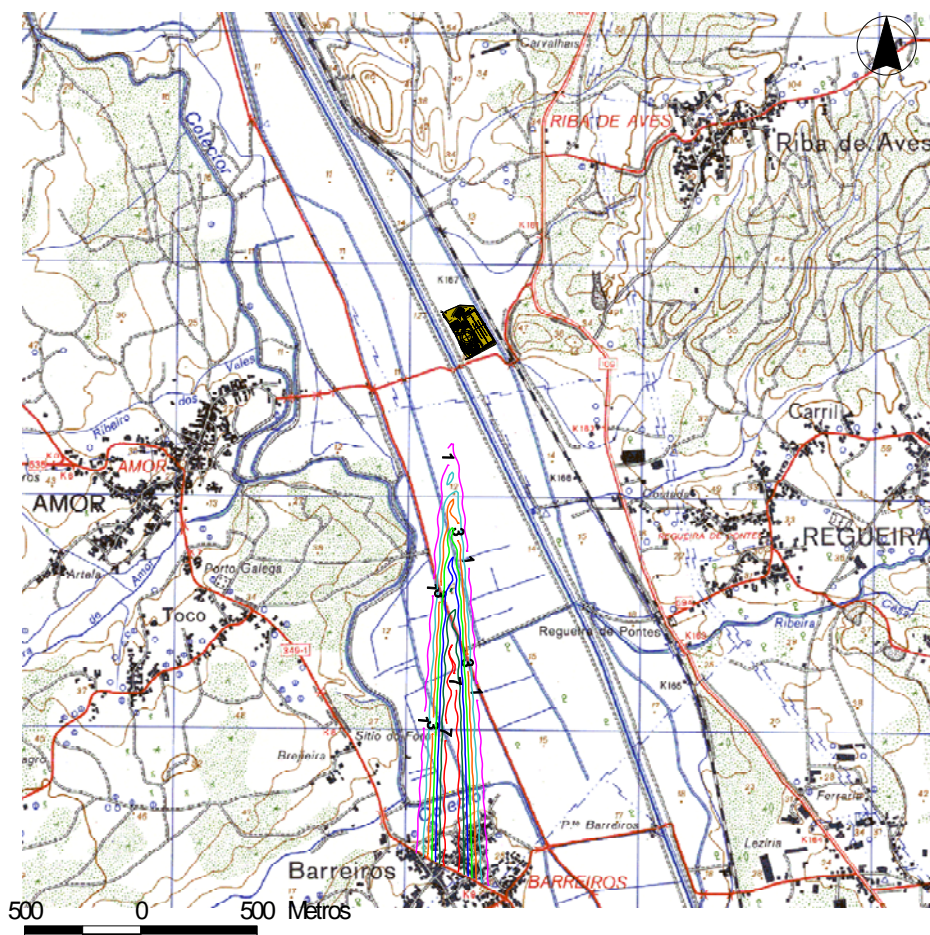


Figura A-24 – Isolinhas dos valores de concentração de NOx para o período de uma hora em $\mu\text{g}/\text{m}^3$ (classe F, velocidade do vento 3 m/s, direcção Norte) LOCAL 2